

**В. И. Теренин, Е. А. Сумцова, Е. В. Кабанова, А. П. Плешкова<sup>a</sup>,  
Н. В. Зык**

### ДИПИРРОЛО[1,2-*a*;2',1'-*c*]ПИРАЗИНЫ

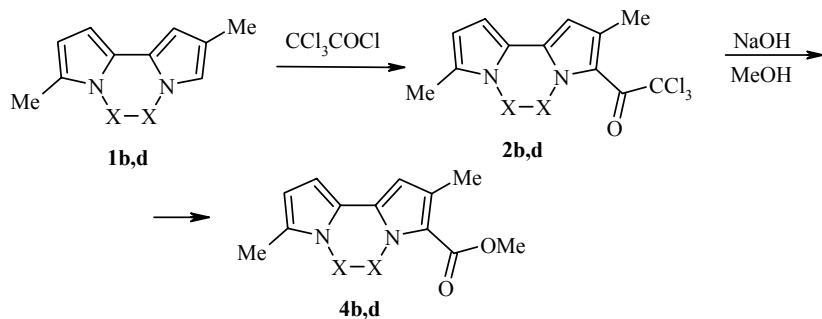
**8\*. ЭЛЕКТРОФИЛЬНОЕ ЗАМЕЩЕНИЕ В РЯДУ ДИПИРРОЛО[1,2-*a*;2',1'-*c*]-  
ПИРАЗИНОВ И 5,6-ДИГИДРОДИПИРРОЛО[1,2-*a*;2',1'-*c*]ПИРАЗИНОВ.  
АЦИЛИРОВАНИЕ ДИПИРРОЛО[1,2-*a*;2',1'-*c*]ПИРАЗИНОВ**

Ацилированием дипирроло[1,2-*a*;2',1'-*c*]пиразинов и 5,6-дигидродипирроло[1,2-*a*;2',1'-*c*]-пиразинов хлорангидридом трихлоруксусной кислоты, *p*-тозилизоцианатом и дихлорангидридом изоцианатофосфорной кислоты (изоцианат Кирсанова) синтезированы эфиры, нитрилы, амиды ряда дипирроло[1,2-*a*;2',1'-*c*]пиразинов.

**Ключевые слова:** дипирроло[1,2-*a*;2',1'-*c*]пиразины, 5,6-дигидродипирроло[1,2-*a*;2',1'-*c*]-пиразины, ацилирование.

Дипирроло[1,2-*a*;2',1'-*c*]пиразины легко вступают в реакции электрофильного замещения, такие как ацилирование, нитрование, аминометилирование, формилирование [2]. В продолжение этих исследований была изучена реакционная способность дипирролопиразинов **1a,b** и их 5,6-дигидроаналогов **1c,d** в условиях реакции трихлорацетилирования хлорангидридом трихлоруксусной кислоты.

Местом первоначальной атаки трихлорацетил-катиона является свободное  $\alpha$ -положение пиррольного кольца. В реакции 2,8-диметилдипирроло[1,2-*a*;2',1'-*c*]пиразина (**1b**) и его дигидроаналога **1d** с эквимолярным количеством хлорангидрида трихлоруксусной кислоты с высокими выходами получаются продукты монозамещения **2b,d**.

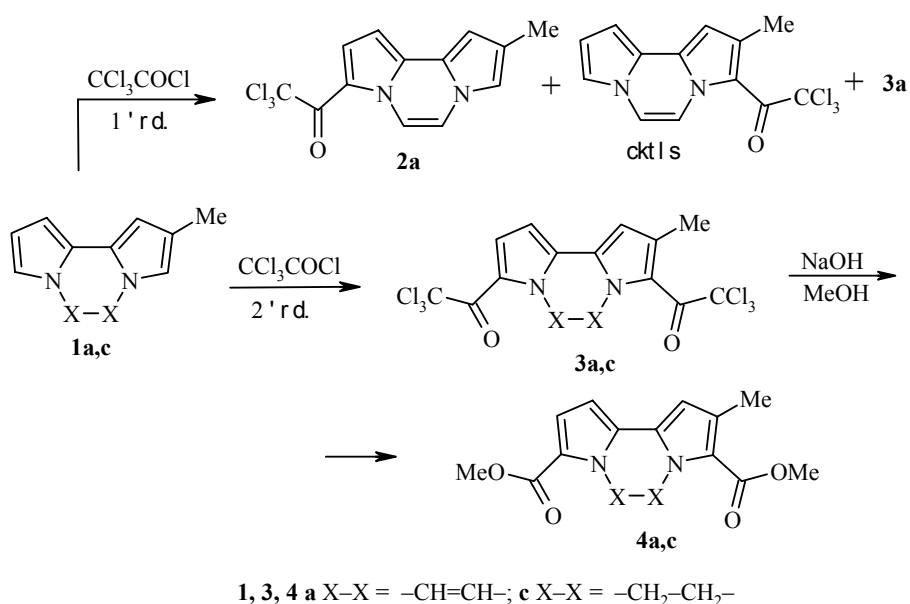


**1, 2, 4 b**  $\text{X-X} = -\text{CH}=\text{CH}-$ ; **d**  $\text{X-X} = -\text{CH}_2\text{CH}_2-$

\* Сообщение 7 см. [1].

В случае 2-метилдипирролопиразинов **1a,c**, имеющих два свободных  $\alpha$ -положения пиррольных колец, могут образовываться продукты ацилирования как по одному, так и по двум пиррольным кольцам молекулы, причем результат реакции зависит от соотношения субстрат : реагент.

Согласно квантово-химическим расчетам, в дипирролопиразине **1a**  $\pi$ -орбитальные плотности на ВЗМО положений 3 и 8 практически одинаковы, но термодинамически более стабильны катионы, образующиеся при электрофильной атаке по положению 3. Однако образование 8-замещенных производных менее стерически затруднено. При трихлорацетилировании пирролопиразина **1a** эквимолярным количеством реагента кроме продукта дизамещения **3a** был выделен 2-метил-8-трихлорацетилдипирроло[1,2-*a*;2',1'-*c*]пиразин (**2a**), в соотношении 2:1, соответственно, и лишь в следовых количествах 2-метил-3-трихлорацетилдипирроло[1,2-*a*;2',1'-*c*]пиразин (на основании анализа спектра ЯМР  $^1\text{H}$  реакционной смеси), что можно объяснить доминированием пространственного фактора. При трихлорацетилировании дипирролопиразинов **1a,c** двукратным избытком реагента были получены продукты дизамещения: соответственно, 2-метил-3,8-дитрихлорацетилдипирроло[1,2-*a*;2',1'-*c*]пиразин (**3a**) и 2-метил-3,8-дитрихлорацетил-5,6-дигидропирроло[1,2-*a*;2',1'-*c*]пиразин (**3c**).

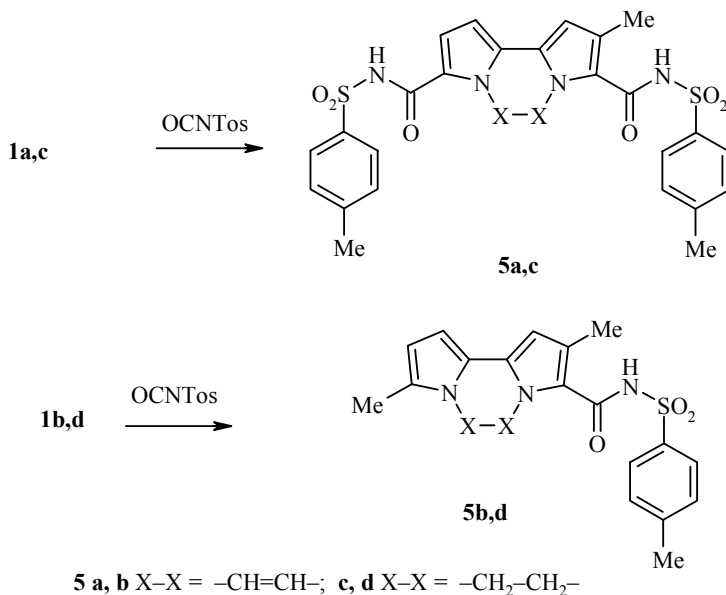


В большинстве случаев тригалогенацетилпирролы под воздействием гидроксид-иона, вступают в галоформную реакцию с образованием пирролкарбоновых кислот и тригалогенометана: трифторацетилпиррол не реагирует со спиртами, однако его трихлораналог в условиях щелочного катализа был преобразован в сложный эфир с выходом более 80% [3]. Трихлорацетилдипирролопиразины при обработке спиртовым раствором щелочи легко вступают в галоформную реакцию и превращаются в соответствующие сложноэфирные производные дипирролопиразинов **4a-d**.

Арилсульфонилизоцианаты используются для С-ацилирования электро-

нообогащенных азотистых гетероциклов. Однако литературные данные о таких реакциях весьма противоречивы. Так, согласно данным [4] пиррол реагирует с *p*-тозилизоцианатом по положению 3 –  $\beta$ -положению пиррольного кольца. В более поздних работах [5, 6] на основании данных спектров ЯМР  $^1\text{H}$  было доказано, что пиррол и N-метилпиррол реагируют с *o*-хлор-бензолсульфонилизоцианатом по  $\alpha$ -положению.

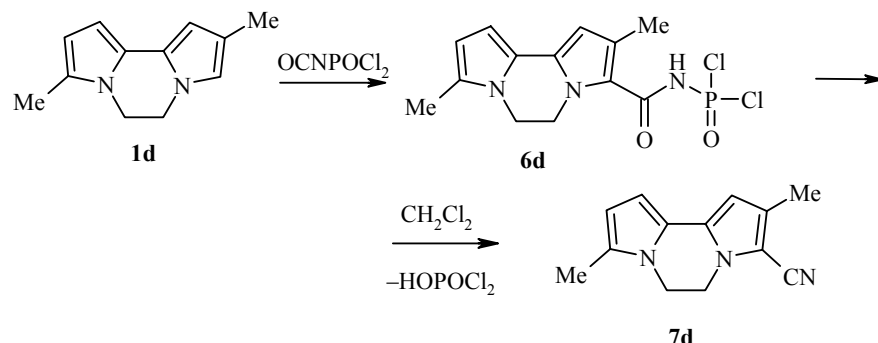
В качестве реагента нами был выбран *p*-тозилизоцианат как один из наиболее активных изоцианатов в реакциях электрофильного замещения [6]. Дипирролопиразины вступают в реакцию ацилирования, давая продукты замещения по  $\alpha$ -положению пиррольных колец. Для 2-метилдипирроло[1,2-*a*;2',1'-*c*]пиразина (**1a**) и 5,6-дигидроаналога **1c** при соотношении реагентов 1:2 с выходами порядка 90% были получены продукты дизамещения **5a,c**. При эквимолярном соотношении реагентов получалась сложная смесь моно- и дизамещенных продуктов и исходного дипирролопиразина. В реакции соединения **1b** и 2,8-диметил-5,6-дигидродипирроло[1,2-*a*;2',1'-*c*]пиразина (**1d**) с *p*-тозилизоцианатом при эквимолярном соотношении реагентов были получены продукты монозамещения, соответственно  $\text{N}^1$ -[(2,8-диметилдипирроло[1,2-*a*;2',1'-*c*]пиразин-3-ил)карбонил]-4-бензолсульфонамид (**5b**) и  $\text{N}^1$ -[(2,8-диметил-5,6-дигидродипирроло[1,2-*a*;2',1'-*c*]пиразин-3-ил)карбонил]-4-бензолсульфонамид (**5d**). При использовании избытка *p*-тозилизоцианата получена смесь дизамещенных продуктов, разделить которую не удалось.



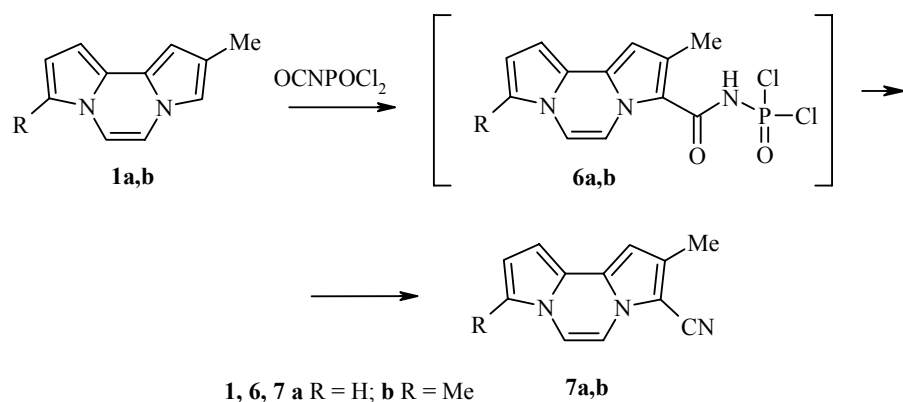
Другим активным С-ацилирующим агентом является дихлорангидрид изоцианатофосфорной кислоты (изоцианат Кирсанова), взаимодействуя с которым, например, N-метилпиррол, индол и 2-метилфуран образуют дихлорангидриды N-гетариламидофосфорных кислот [7].

Взаимодействием соединения **1d** с изоцианатом Кирсанова был получен дихлорангидрид N-(2,8-диметил-5,6-дигидродипирроло[1,2-*a*;2',1'-*c*]-

пиразин-3-карбокси)амидофосфорной кислоты (**6d**). В спектре ЯМР  $^{31}\text{P}$  в  $\text{CDCl}_3$  этого соединения зафиксирован сигнал атома фосфора при 7.503 м. д.



Полученный дихлорангидрид **6d** является крайне неустойчивым соединением, которое в растворе хлористого метиленя при комнатной температуре превращается в 2,8-диметил-5,6-дигидропирроло[1,2-*a*;2',1'-*c*]пиразин-3-карбонитрил (**7d**). В реакциях дипирролопиразинов **1a–c** с изоцианатом Кирсанова промежуточные дихлорангидриды **6a–c** не выделяли.



В реакциях изоцианата Кирсанова с дипирролопиразинами **1a,b**, были выделены продукты монозамещения по положению 3 – нитрилы **7a,b**. Кроме этого, по данным ТСХ и хроматомасс-спектрометрии, в реакции 2-метилдипирроло[1,2-*a*;2',1'-*c*]пиразина (**1a**), имеющего два свободных  $\alpha$ -положения пиррольных колец, с изоцианатом Кирсанова в следовых количествах образуется динитрил.

Таблица

## Физико-химические характеристики синтезированных соединений

Соединение	Брутто-формула	Найдено, % * Вычислено, %			T <sub>пл</sub> , °C	Масс-спектр, m/z (I <sub>отн</sub> , %)	Выход, %
		C	H	N			
<b>2a</b>	C <sub>13</sub> H <sub>9</sub> Cl <sub>3</sub> N <sub>2</sub> O					M <sup>+</sup> 314 (21), 280 (12), 253 (12), 251 (19), 217 (7), 198 (26), 197 (100), 170 (15), 169 (77), 168 (14)	11
<b>2b</b>	C <sub>14</sub> H <sub>11</sub> Cl <sub>3</sub> N <sub>2</sub> O		M <sup>+</sup> <u>327.993710</u> 327.993693		142 (с разл.)	M <sup>+</sup> 328 (24), 294 (5), 265 (12), 212 (15), 211 (100), 183 (41), 115 (2), 106 (6), 92 (4), 91 (7)	69
<b>2d</b>	C <sub>14</sub> H <sub>13</sub> Cl <sub>3</sub> N <sub>2</sub> O	<u>50.91</u> 50.70	<u>3.62</u> 3.95	<u>8.25</u> 8.45	172	M <sup>+</sup> 330 (8), 296 (9), 267 (14), 233 (12), 214 (15), 213 (77), 186 (12), 185 (60), 183 (13)	88
<b>3a</b>	C <sub>15</sub> H <sub>8</sub> Cl <sub>6</sub> N <sub>2</sub> O <sub>2</sub>		M <sup>+</sup> <u>457.872440</u> 457.871694		159–160	M <sup>+</sup> 458 (3), 397 (6), 345 (17), 343 (45), 341 (46), 309 (19), 307 (31), 250 (15), 196 (36), 168 (10), 115 (12), 112 (44)	72
<b>3c</b>	C <sub>15</sub> H <sub>10</sub> Cl <sub>6</sub> N <sub>2</sub> O <sub>2</sub>		M <sup>+</sup> <u>459.888670</u> 459.887344		196	M <sup>+</sup> 460 (2), 399 (8), 345 (40), 343 (41), 311 (15), 309 (24), 252 (10), 198 (18), 170 (9), 142 (19), 115 (20), 113 (46)	64
<b>4a</b>	C <sub>15</sub> H <sub>14</sub> N <sub>2</sub> O <sub>4</sub>	<u>62.31</u> 62.93	<u>5.06</u> 4.93	<u>9.65</u> 9.78	188	M <sup>+</sup> 286 (100), 225 (41), 228 (45), 227 (41), 168 (18), 142 (10), 140 (11), 112 (29), 63 (15)	47
<b>4b</b>	C <sub>14</sub> H <sub>14</sub> N <sub>2</sub> O <sub>2</sub>	<u>69.79</u> 69.41	<u>6.42</u> 5.82	<u>6.32</u> 5.78	150	M <sup>+</sup> 242 (100), 241 (43), 211 (15), 184 (44), 183 (52), 182 (13), 181 (11), 121 (11), 91 (21), 57 (11)	59
<b>4c</b>	C <sub>15</sub> H <sub>16</sub> N <sub>2</sub> O <sub>4</sub>	<u>62.59</u> 62.49	<u>5.57</u> 5.59	<u>9.65</u> 9.72	186	M <sup>+</sup> 288 (100), 258 (9), 257 (23), 230 (20), 229 (19), 214 (3), 197 (2), 169 (7), 144 (8), 142 (4), 116 (3), 115 (6), 89 (4), 59 (4)	52
<b>4d</b>	C <sub>15</sub> H <sub>16</sub> N <sub>2</sub> O <sub>4</sub>	<u>68.83</u> 68.83	<u>6.51</u> 6.60	<u>11.30</u> 11.47	154	M <sup>+</sup> 244 (100), 243 (25), 228 (4), 213 (14), 186 (28), 185 (34), 169 (6), 122 (8), 92 (9), 71 (10), 57 (17), 43 (28)	68

<b>5a</b>	C <sub>27</sub> H <sub>24</sub> N <sub>4</sub> O <sub>6</sub> S <sub>2</sub>	<u>57.37</u> 57.43	<u>4.09</u> 4.28	<u>9.66</u> 9.92	246–247	[M <sup>+</sup> –197] 367 (4), 197 (28), 170 (55), 169 (44), 155 (53), 92 (12), 91 (100), 89 (10), 65 (27), 63 (13), 40 (20)	91
<b>5b</b>	C <sub>20</sub> H <sub>19</sub> N <sub>3</sub> O <sub>3</sub> S	<u>62.44</u> 62.97	<u>4.97</u> 5.02	<u>10.75</u> 11.02	198–200	M <sup>+</sup> 381 (26), 211 (21), 197 (26), 184 (77), 183 (100), 155 (48), 92 (13), 91 (96), 65 (20), 63 (10), 39 (11)	79
<b>5c</b>	C <sub>27</sub> H <sub>26</sub> N <sub>4</sub> O <sub>6</sub> S <sub>2</sub>	<u>57.31</u> 57.23	<u>4.70</u> 4.62	<u>9.73</u> 9.89	202	[M <sup>+</sup> –197] 369 (3), 197 (16), 172 (38), 171 (27), 155 (38), 92 (11), 91 (100), 65 (24), 63 (10), 39 (11)	82
<b>5d</b>	C <sub>20</sub> H <sub>19</sub> N <sub>3</sub> O <sub>3</sub> S		M <sup>+</sup> <u>383.130364</u> 383.132200		192–194	M <sup>+</sup> 383 (7), 197 (18), 187 (13), 186 (100), 185 (75), 144 (32), 93 (12), 92 (16), 91 (44), 65 (9)	98
<b>6 d</b>	C <sub>13</sub> H <sub>14</sub> Cl <sub>2</sub> N <sub>3</sub> O <sub>2</sub> P				123 (с разл.)		87
<b>7a</b>	C <sub>12</sub> H <sub>9</sub> N <sub>3</sub>	<u>73.97</u> 73.83	<u>4.81</u> 4.65	<u>21.51</u> 21.52	132	M <sup>+</sup> 195 (100), 194 (61), 193 (11), 169 (7), 140 (7), 115 (4), 97 (15), 63 (12)	42
<b>7b</b>	C <sub>13</sub> H <sub>11</sub> N <sub>3</sub>	<u>74.59</u> 74.62	<u>5.34</u> 5.30	<u>19.94</u> 20.08	161	M <sup>+</sup> 209 (86), 208 (100), 207 (10), 193 (6), 127 (3), 103 (13), 77 (5), 63 (5)	67
<b>7c</b>	C <sub>12</sub> H <sub>11</sub> N <sub>3</sub>	<u>73.26</u> 73.07	<u>5.92</u> 5.62	<u>21.54</u> 21.30	126	M <sup>+</sup> 197 (100), 196 (29), 194 (4), 181 (7), 169 (6), 142 (5), 115 (4), 98 (10), 97 (4)	34 (14)
<b>7d</b>	C <sub>13</sub> H <sub>11</sub> N <sub>3</sub>	<u>73.71</u> 73.91	<u>5.99</u> 6.20	<u>19.64</u> 19.89	162–163	M <sup>+</sup> 211 (100), 210 (70), 195 (5), 186 (5), 185 (5), 105 (7), 104 (11)	63
<b>8c</b>	C <sub>13</sub> H <sub>10</sub> N <sub>4</sub>						6

\* Для соединений **2b**, **3a,c** и **5d** приведен масс-спектр высокого разрешения.

Таблица 2

Спектры ЯМР  $^1\text{H}$  соединений 2–8

Соединение	Химические сдвиги, $\delta$ , м. д. (КССВ, $J$ , Гц)							
	Протоны и заместители пиррольных циклов					Протоны пиразинового ядра		Другие протоны
	H (1)	R (2)	H(R) (8)	H (9)	H(R) (10)	H (5)	H (6)	
1	2	3	4	5	6	7	8	9
2a	6.68 (1H, уш. с.)	2.31 (3H, уш. с.)		7.88 (1H, д, $J_{9,10} = 4.8$ )	6.61 (1H, д, $J_{10,9} = 4.8$ )	7.34 (1H, д, $J_{5,6} = 6.3$ )	8.74 (1H, д, $J_{6,5} = 6.1$ )	7.07 (1H, уш. с, H-3)
2b	6.47 (1H, уш. с.)	2.73 (3H, уш. с.)	2.45 (3H, уш. с.)	6.43 (1H, д. д, $J_{9,10} = 3.8$ ; $J_{\text{H,CH}_3} = 0.8$ )	6.94 (1H, д, $J_{10,9} = 3.8$ )	8.59 (1H, д, $J_{5,6} = 6.3$ )	7.13 (1H, д, $J_{6,5} = 6.4$ )	
2d	6.20 (1H, д, $J_{\text{H,CH}_3} = 0.7$ )	2.56 (3H, уш. с.)	2.29 (3H, уш. с.)	5.98 (1H, д. д, $J_{9,10} = 3.7$ ; $J_{\text{H,CH}_3} = 0.7$ )	6.41 (1H, д, $J_{10,9} = 3.7$ )	4.63 (2H, м)	4.09 (2H, м)	
3a	6.79 (1H, с)	2.78 (3H, уш. с.)		7.95 (1H, д, $J_{9,10} = 4.8$ )	6.87 (1H, д. д, $J_{10,9} = 4.8$ $J_{10,6} = 0.5$ )	8.75 (1H, д, $J_{5,6} = 6.4$ )	8.90 (1H, д, $J_{6,5} = 6.4$ )	
3c	6.46 (1H, д, $J_{\text{H,CH}_3} = 0.8$ )	2.57 (3H, уш. с.)		7.58 (1H, д, $J_{9,10} = 4.8$ )	6.55 (1H, д, $J_{10,9} = 4.8$ )	4.63 (2H, м)	4.86 (2H, м)	
4a	6.55 (1H, уш. с.)	2.50 (3H, уш. с.)	—*	7.33 1H, д, ( $J_{9,10} = 4.5$ )	6.63 (1H, д. д, $J_{10,9} = 4.2$ ; $J_{10,6} = 0.6$ )	8.58 (1H, д, $J_{5,6} = 6.6$ )	8.68 (1H, д, $J_{6,5} = 6.6$ )	3.90 (3H, с, $\text{OCH}_3$ -8); 3.93 (3H, с, $\text{OCH}_3$ -3)**

<b>4b</b>	6.39 (1H, уш.)	2.49 (3H, уш. с)	2.45 (3H, уш. с)	6.35 (1H, д. д, $J_{5,10} = 3.5$ ; $J_{\text{H},\text{CH}_3} = 0.6$ )	6.59 (1H, д. д, $J_{10,9} = 3.7$ ; $J_{10,6} = 0.4$ )	8.60 (1H, д, $J_{5,6} = 6.3$ )	7.19 (1H, д, $J_{6,5} = 6.2$ ; $J_{6,10} = 0.4$ )	3.91 (3H, с, OCH <sub>3</sub> -3)
<b>4c</b>	6.26 (1H, уш. с)	2.34 (3H, уш. с)	-*	6.97 (1H, д, $J_{5,10} = 4.1$ )	6.35 (1H, д, $J_{10,9} = 4.1$ )	4.73 (4 H, с)		3.83 (3H, с, OCH <sub>3</sub> -8); 3.86 (3H, с, OCH <sub>3</sub> -3)**
<b>4d</b>	6.09 (1H, уш. с)	2.33 (3H, уш. с)	2.26 (3H, д, $J_{\text{CH}_3,\text{H}} = 0.7$ )	5.93 (1H, д. д, $J_{9,10} = 3.6$ ; $J_{\text{H},\text{CH}_3} = 0.6$ )	6.29 (1H, д, $J_{10,9} = 3.5$ )	4.72 (2H, м)	4.04 (2H, м)	3.83 (3H, с, OCH <sub>3</sub> -3)
<b>5a</b>	6.88 (1H, уш. с)	-*	-*	7.81 (1H, д, $J_{5,10} = 4.7$ )	6.96 (1H, д, $J_{10,9} = 4.5$ )	8.49 (1H, д, $J_{5,6} = 6.2$ )	8.09 (1H, д, $J_{6,5} = 6.0$ )	2.35, 2.38, 2.46 (9H, 3с, CH <sub>3</sub> - 2, 2CH <sub>3</sub> -Tos)**; 7.52 (4H, м, <i>m</i> -Tos); 7.95-8.00 (4H, м, <i>o</i> -Tos)
<b>5b</b>	6.36 (1H, уш. с)	-*	2.42 (3H, с)	6.37 (1H, д, $J_{5,10} = 3.7$ )	6.60 (1H, д, $J_{10,9} = 3.9$ )	8.51 (1H, д, $J_{5,6} = 6.3$ )	7.03 (1H, д, $J_{6,5} = 6.2$ )	2.44, 2.58 (6H, 2с, CH <sub>3</sub> -2, CH <sub>3</sub> -Tos)**; 7.36 (2H, д, $J = 8.2$ , <i>m</i> -Tos); 8.06 (2H, д, $J = 8.2$ , <i>o</i> -Tos)
<b>5c</b>	(1H, уш. с)	-*	-*	6.91 (1H, д, $J_{5,10} = 4.4$ )	6.31 (1H, д, $J_{5,10} = 4.5$ )	4.50 (2H, м)	4.56 (2H, м)	2.41, 2.43, 2.44 (9H, 3с, CH <sub>3</sub> -2, 2CH <sub>3</sub> - Tos)**; 7.34 (4H, м, <i>m</i> -Tos); 7.98-8.01 (4H, м, <i>o</i> -Tos)
<b>5d</b>	6.07 (1H, уш.)	-*	2.24 (3H, с)	5.93 (1H, д, $J_{5,10} = 3.6$ )	6.31 (1H, д, $J_{10,9} = 3.5$ )	4.63 (2H, м)	3.96 (2H, м)	2.43, 2.44 (6H, 2с, CH <sub>3</sub> -2, CH <sub>3</sub> -Tos)**; 7.35 (2H, д, $J = 8.2$ , <i>m</i> -Tos); 8.02 (2H, д, $J = 8.2$ , <i>o</i> -Tos)

Окончание таблицы 2

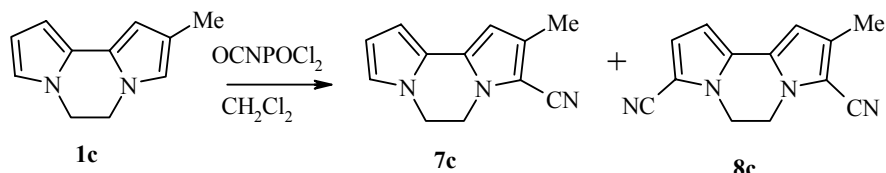
1	2	3	4	5	6	7	8	9
<b>6d</b>	6.06 (1H, c)	2.27 (3H, c)	2.23 (3H, c)	5.94 (1H, д, $J_{9,10} = 3.2$ )	6.29 1H, д, $J_{10,9} = 3.5$	4.22 (2H, м)	4.11 (2H, м)	4.40 (1H, уш. с, NH)
<b>7a</b>	6.32 (1H, уш. с)	2.35 (3H, д, $J_{\text{CH}_3,\text{H}} = 0.7$ )	7.08 (1H, д. д, $J_{8,9} = 2.5$ ; $J_{8,10} = 1.6$ )	6.59–6.60 (2H, м)	7.20 (1H, д, $J_{5,6} = 6.1$ )	7.17 (1H, д, $J_{6,5} = 6.1$ )		
<b>7b</b>	6.33 (1H, уш. с)	2.44 (3H, д, $J_{\text{CH}_3,\text{H}} = 0.8$ )	2.38 (3H, уш. с)	6.35 (1H, д. д, $J_{9,10} = 3.9$ ; $J_{\text{H,CH}_3} = 0.8$ )	6.56 (1H, д, $J_{10,9} = 3.9$ )	7.14 (1H, д, $J_{5,6} = 6.0$ )	7.27 (1H, д, $J_{6,5} = 6.0$ )	
<b>7c***</b>	6.11 (1H, д, $J_{\text{H,CH}_3} = 0.5$ )	2.24 (3H, уш. с)	6.68 (1H, д. д, $J_{8,9} = 2.3$ ; $J_{8,10} = 1.2$ )	6.21 (1H, д. д, $J_{9,10} = 3.9$ ; $J_{9,8} = 2.3$ )	6.37 (1H, д. д, $J_{10,9} = 3.9$ ; $J_{10,8} = 1.3$ )	4.25 (4H, с)		
<b>7d</b>	6.06 (1H, c)	2.27 (3H, уш. с)	2.23 (3H, уш. с)	5.94 (1H, д. д, $J_{9,10} = 3.6$ ; $J_{\text{H,CH}_3} = 0.7$ )	6.29 (1H, д, $J_{10,9} = 3.6$ )	4.22 (2H, м)	4.10 (2H, м)	
<b>8c</b>	6.27 (1H, д, $J_{\text{H,CH}_3} = 0.4$ )	2.26 (3H, уш. с)		6.85 (1H, д, $J_{9,10} = 4.1$ )	6.37 (1H, д, $J_{10,9} = 4.1$ )	4.25–4.38 (4H, м)		

\* Химические сдвиги приведены в графике "Другие протоны".

\*\* Возможно обратное отнесение протонов.

\*\*\* Спектр ЯМР  $^{13}\text{C}$ ,  $\delta$ , м. д.: 11.77 ( $\text{CH}_3$ ); 42.91, 43.81 ( $\text{CH}_2$ -5,6); 104.18, 105.15, 109.44, 120.81 (CH-1,8,9,10); 100.61, 114.17, 123.19, 130.28, 132.95 (C-2,3,11,12); 114.17 (CN).

Однако для 2-метил-5,6-дигидропирроло[1,2-*a*;2',1'-*c*]пиразина (**1c**) реакция протекает не столь однозначно. При эквимолярном соотношении субстрат:реагент доминирующим продуктом реакции является 2-метил-5,6-дигидропирроло[1,2-*a*;2',1'-*c*]пиразин-3-карбонитрил (**7c**) с выходом 34%, при двухкратном же избытке реагента были выделены два продукта реакции: наряду с соединением **7c** был получен также и 2-метил-5,6-дигидропирроло[1,2-*a*;2',1'-*c*]пиразин-3,8-дикарбонитрил (**8c**) в соотношении 2:1, причем суммарный выход продукта составил всего 20%.



## ЭКСПЕРИМЕНТАЛЬНАЯ ЧАСТЬ

Спектры ЯМР  $^1\text{H}$  зарегистрированы на спектрометре VXR-400 фирмы Varian (рабочая частота – 400 МГц) в растворе  $\text{CDCl}_3$  при температуре 28 °C. В качестве внутреннего стандарта использован ТМС. Спектры ЯМР  $^{31}\text{P}$  (рабочая частота – 160 МГц) регистрировались относительно  $\text{H}_3\text{PO}_4$  как внешнего эталона. Масс-спектры соединений записаны на приборе Kratos MS-90 при энергии ионизации 70эВ. Масс-спектры высокого разрешения получены с использованием перфторокеросина (PFK) в качестве стандарта, методом peak-matching, при разрешении  $\approx 8000$  (на уровне 10%) на приборе VG ZabSpec (VG Analytical, Manchester UK). Контроль за ходом реакции осуществляли методом ТСХ на пластинах Silufol-254.

Выходы, константы и спектральные характеристики исследованных соединений приведены в таблицах 1, 2.

**Трихлорацетилирование дипирролопиразинов** (общая методика). К раствору 1 ммоль дипирролопиразина в 5 мл сухого хлористого метиlena при перемешивании добавляют 1 ммоль/2 ммоль хлорангидрида трихлоруксусной кислоты. Реакционную смесь нагревают 1 ч, выливают в воду, органический слой отделяют, растворитель упаривают. Остаток хроматографируют на колонке с нейтральной  $\text{Al}_2\text{O}_3$ , смывая этилацетатом.

**Сложноэфирные производные дипирролопиразинов** (общая методика). Обрабатывают 1 ммоль трихлорацетидипирролопиразина 10 мл 5н  $\text{NaOH}$  (в 50%  $\text{MeOH}$ ), выдерживают 1 ч при комнатной температуре. Осадок отфильтровывают, промывают водой, сушат. Хроматографируют на колонке с  $\text{SiO}_2$ , 100/160, смывая этилацетатом.

**Ацилирование дипирролопиразинов *n*-толуолсульфонилизоцианатом** (общая методика). К раствору 1 ммоль дипирролопиразина в 5 мл сухого бензола при перемешивании прибавляют 1 ммоль/2 ммоль *n*-толуолсульфонилизоцианата. Перемешивают 1 ч, осадок отфильтровывают, промывают гептаном.

**Ацилирование дипирролопиразинов изоцианатом Кирсанова, получение нитрилов** (общая методика). К 1 ммоль дипирролопиразина в 5 мл сухого гексана при охлаждении и перемешивании добавляют 1 ммоль/2 ммоль дихлорангидрида изоцианатофосфорной кислоты (изоцианата Кирсанова) [8], перемешивают 1 ч, осадок отфильтровывают, промывают гептаном, затем растворяют в сухом хлористом метилене, оставляют на 1 ч при комнатной температуре, растворитель упаривают, сухой остаток экстрагируют горячим гептаном.

## С П И С О К Л И Т Е Р А Т У Р Ы

1. В. И. Теренин, Е. А. Сумцова, М. А. Ковалкина, С. З. Вацадзе, Е. В. Кабанова, И. Ф. Лещева, А. П. Плешкова, Н. В. Зык, *XГС*, 1688 (2003).
2. В. И. Теренин, Е. Л. Ручкина, И. Ф. Лещева, А. П. Плешкова, Ю. Г. Бундель, *XГС*, 52 (1997).
3. J. W. Harbuk, H. Rapoport *J. Org. Chem.* **37**, 3618 (1972).
4. M. Seefelder, *Chem. Ber.*, **96**, 3243 (1963).
5. Н. Л. Нам, И. И. Грандберг, В. И. Сорокин, *XГС*, 46 (1994).
6. Н. Л. Нам, И. И. Грандберг, В. И. Сорокин, *XГС*, 205 (1996).
7. А. А. Толмачев, А. А. Чайковская, Р. В. Smaliy, Т. Н. Кудря, А. А. Юрченко, А. М. Pinchuk, *Heteroatom Chem.*, **10**, 343 (1999).
8. А. В. Кирсанов, *ЖОХ*, **24**, 1033 (1954).

Московский государственный университет  
им. М. В. Ломоносова, Москва 119899,  
Россия  
e-mail: vter@org.chem.msu.ru

Поступило в редакцию 19.03.2003

<sup>a</sup>Институт элементоорганических  
соединений им. А. Н. Несмеянова РАН,  
Москва 119991